



Physique des verres et des liquides : Quelques avancées récentes

Pascal Richet

Physique des Minéraux et des Magmas,
Institut de Physique du Globe de Paris

Collaboration : T. Atake, Y. Linard, B.O. Mysen, D.R. Neuville, A. Nidaira,
J. Roux, J. Sipowska, I. Yamashita

Relations structure - propriétés : entropie

Propriété fondamentale des liquides et des verres

$$(\partial G / \partial T)_P = -S$$

Changements de structure à $T > T_g$: augmentation de S

Al (Si) : ${}^{\text{IV}}\text{Al}$, ${}^{\text{V}}\text{Al}$, ${}^{\text{VI}}\text{Al}$; B : ${}^{\text{III}}\text{B}$, ${}^{\text{IV}}\text{B}_{\text{bx}}$ et ${}^{\text{IV}}\text{B}$

=> changements tels que $\Delta S = -R \sum x_i \ln x_i > 0$

Entropies de configuration (S^{conf}) et de vibration (S^{vib})

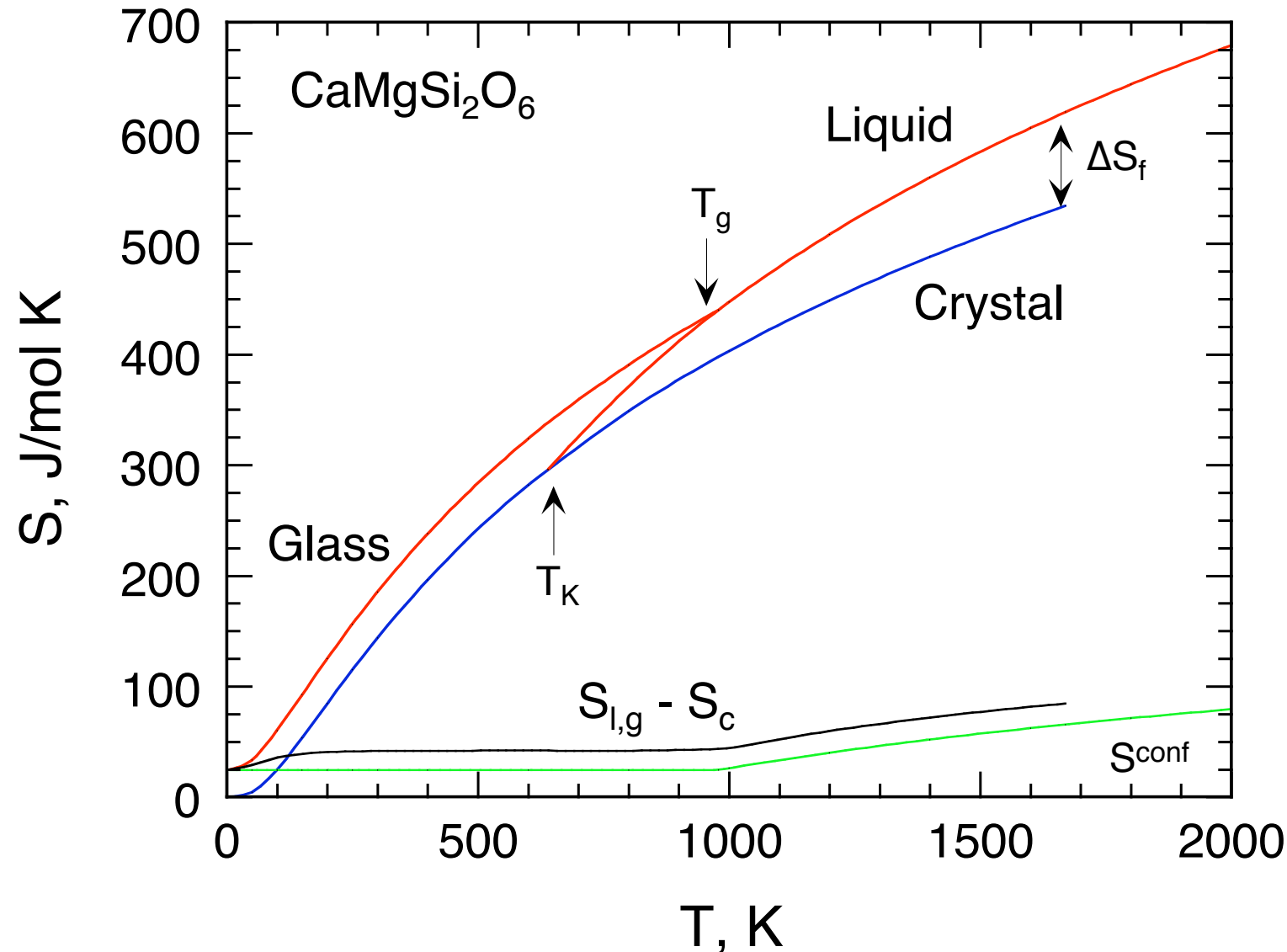
Rôle de S^{conf} dans viscosité

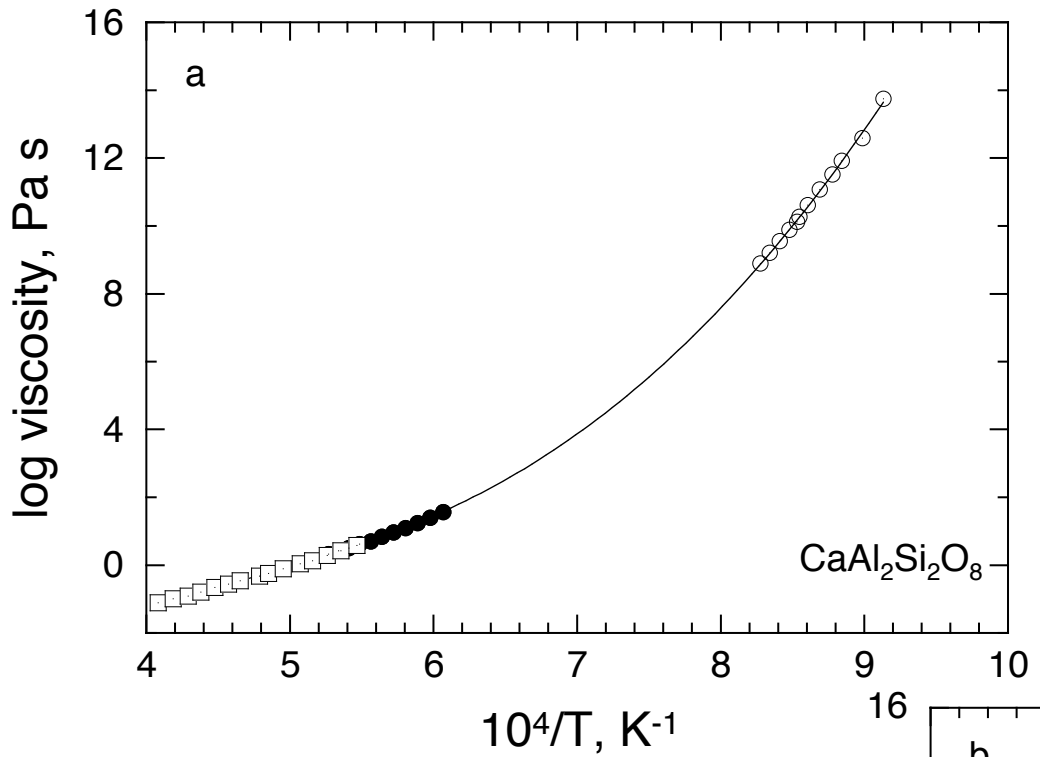
$$\log \eta = A_e + B_e / TS^{\text{conf}}$$

Lien entre S^{vib} et ordre à courte et moyenne distance

Relations originales entre S^{conf} et S^{vib} ...

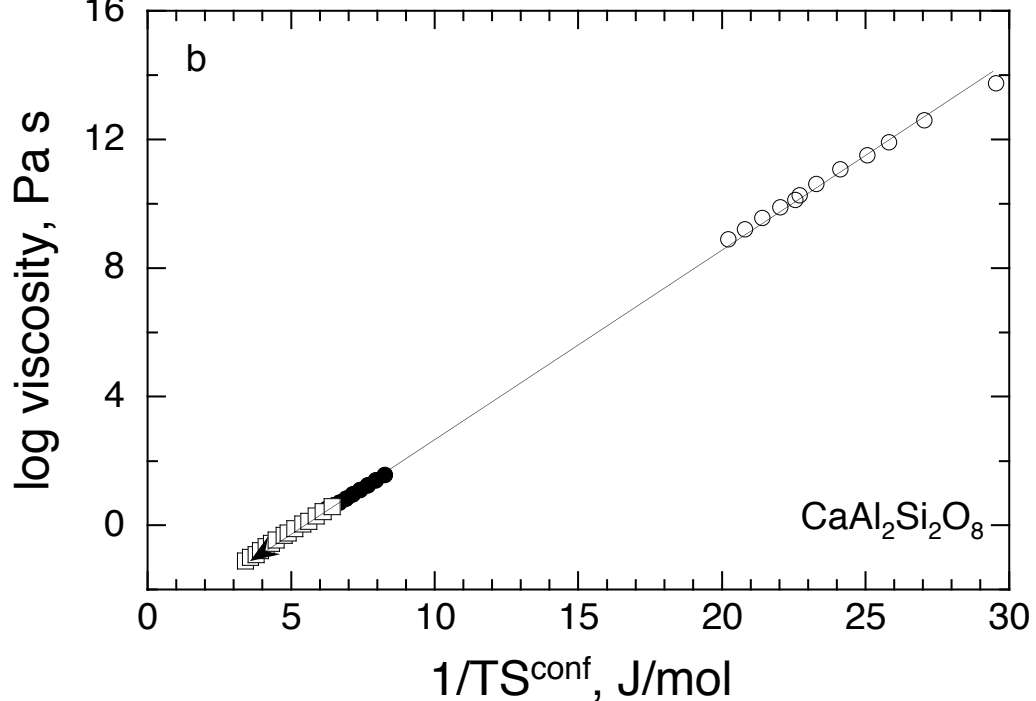
Détermination de S^{conf} et S^{vib} ?





Lien quantitatif entre
thermochimie et rhéologie

$$\log \eta = A_e + B_e / TS^{\text{conf}}$$



Controverse sur l'entropie des verres

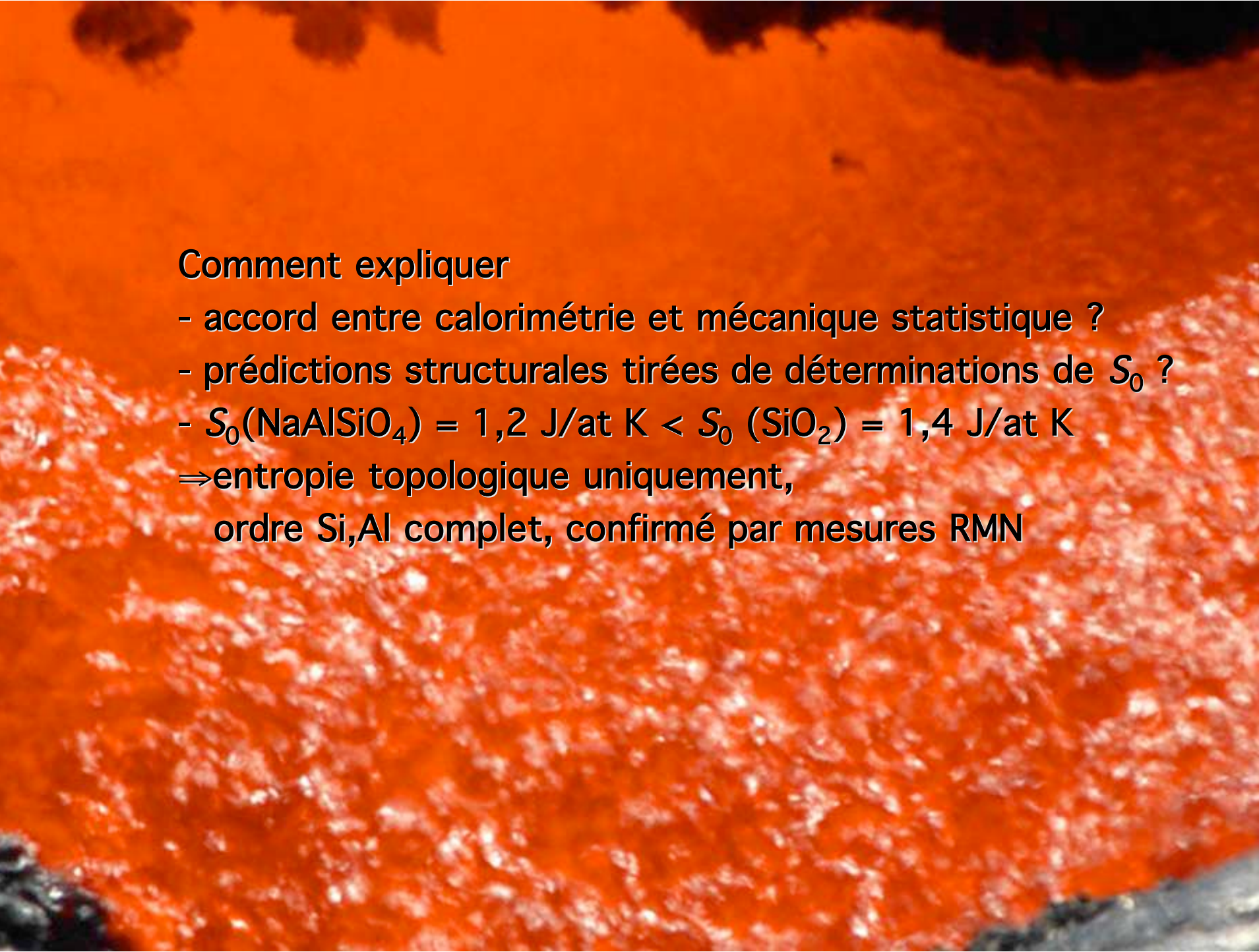
Thèse “traditionnelle” :

- entropie, fonction continue à T_g
- déterminable pour verres par des mesures calorimétriques
- entropie résiduelle existant à 0 K
- systèmes désordonnés : cristaux moléculaires (H_2O , CO , etc.)

Prabhat Gupta et John Mauro

- irréversibilité de transition vitreuse
- perte de l'ergodicité, $S \neq k \ln \Omega$
- perte d'entropie dans domaine de transition => $S_0 = 0$

Opposition entre théoriciens et expérimentateurs...



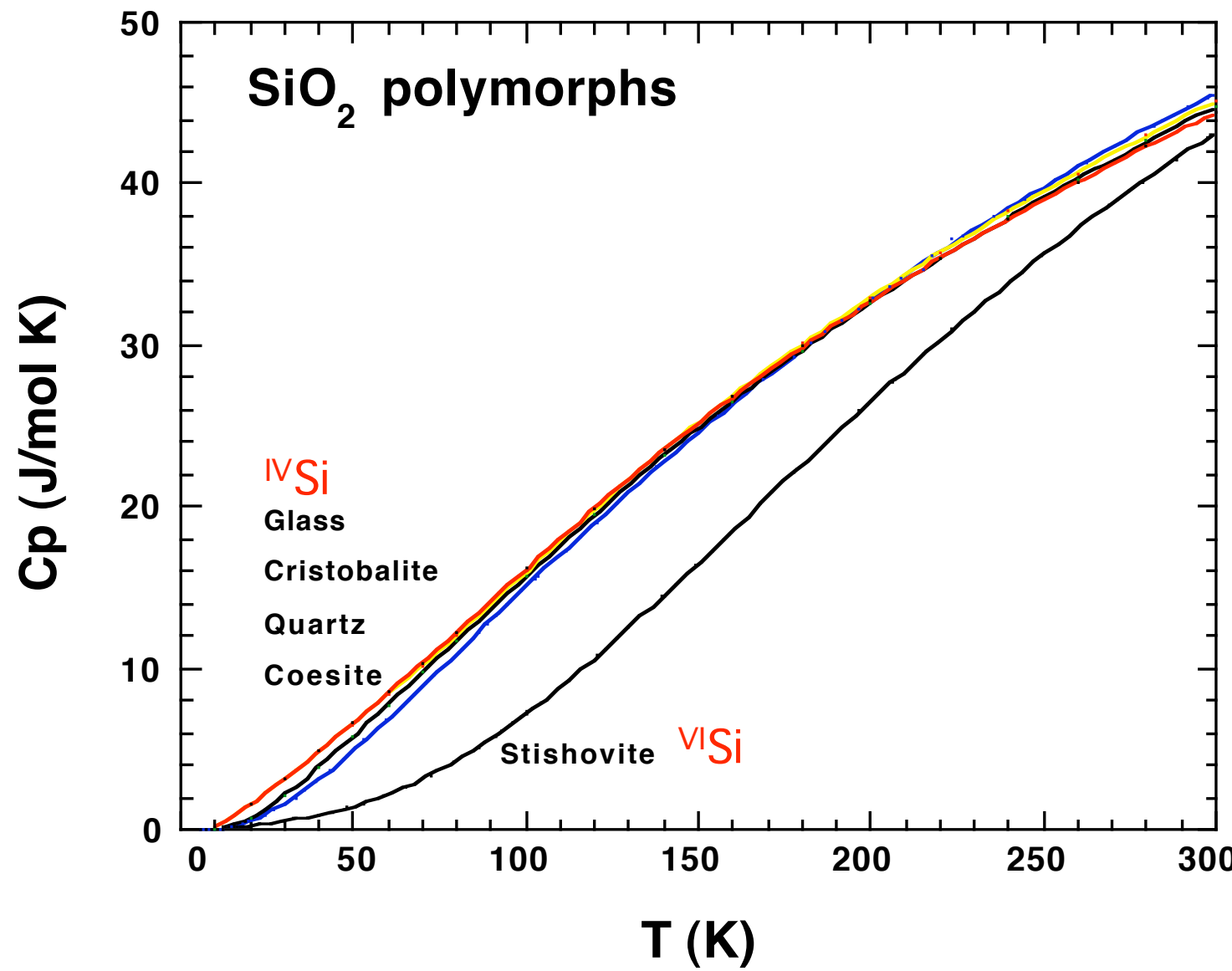
Comment expliquer

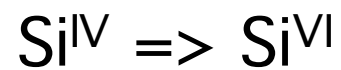
- accord entre calorimétrie et mécanique statistique ?
- prédictions structurales tirées de déterminations de S_0 ?
- $S_0(\text{NaAlSiO}_4) = 1,2 \text{ J/at K} < S_0(\text{SiO}_2) = 1,4 \text{ J/at K}$
⇒ entropie topologique uniquement,
ordre Si,Al complet, confirmé par mesures RMN



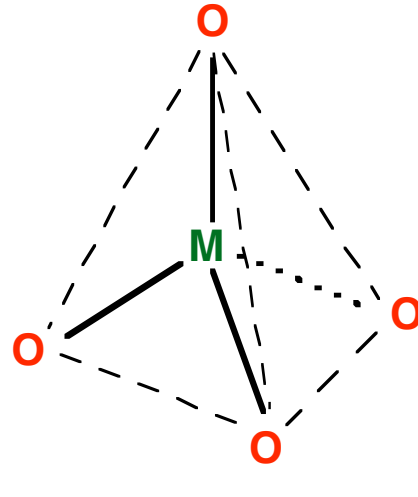
Entropie à basse température ?

Influence de l'ordre à courte distance ?

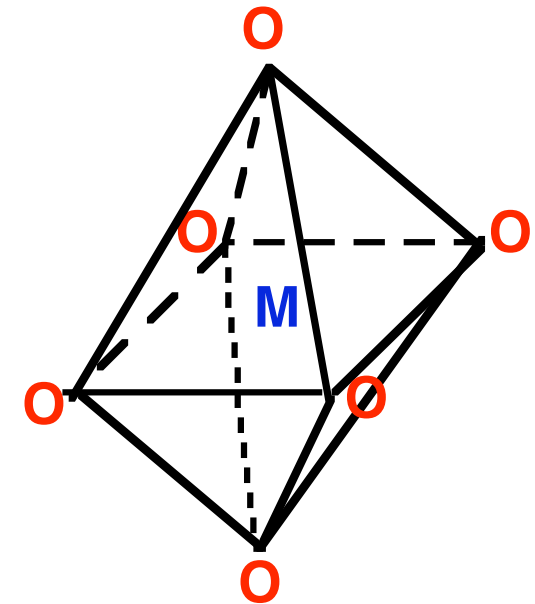




MO_4 (Quartz)

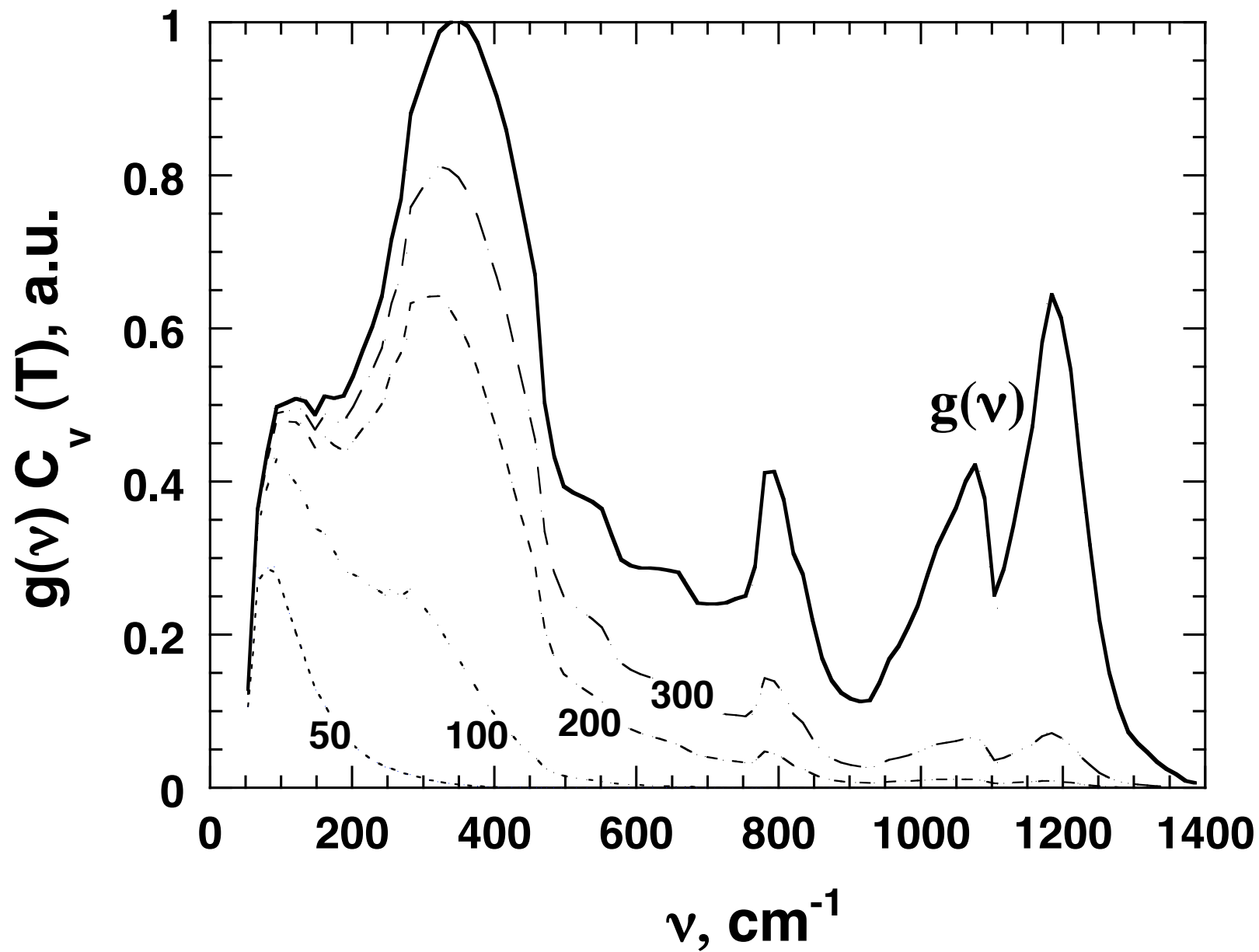


MO_6 (stishovite)



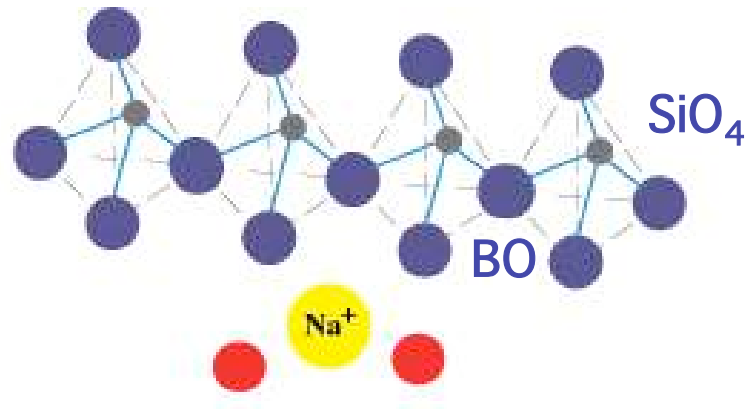
Longer MO bonds: lower frequencies for internal modes
Denser packing: higher frequencies for lattice modes
Net effect : entropy decrease from 43 to 26 J/mol K

SiO_2 glass: C_p and vibrational density of states



Formateurs (^{IV}T) et modificateurs (^{VI}M...)

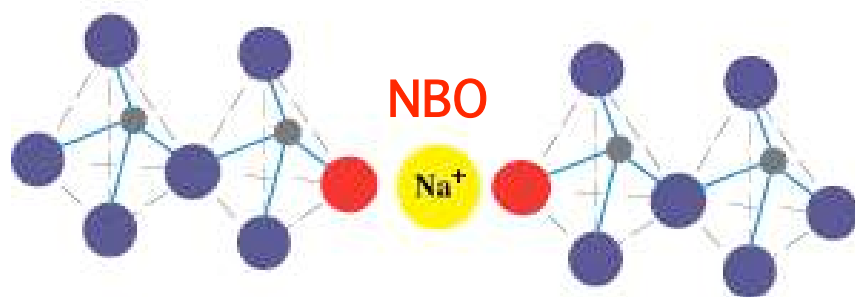
Dépolymérisation : oxygènes pontants => non-pontants



Compositions complexes:

Formateurs : Si^{4+} et IVAl^{3+} ,
 IVFe^{3+} , $\text{III}^{\text{B}}{^{3+}}$, $\text{IV}^{\text{B}}{^{3+}}$

Mais VAl^{3+} , VIAl^{3+} , VIFe^{2+}
modificateurs



Influence de spéciation
de Al, Fe et B sur
propriétés physiques ?

Al : étude systématique des verres $\text{CaO-Al}_2\text{O}_3-\text{SiO}_2$

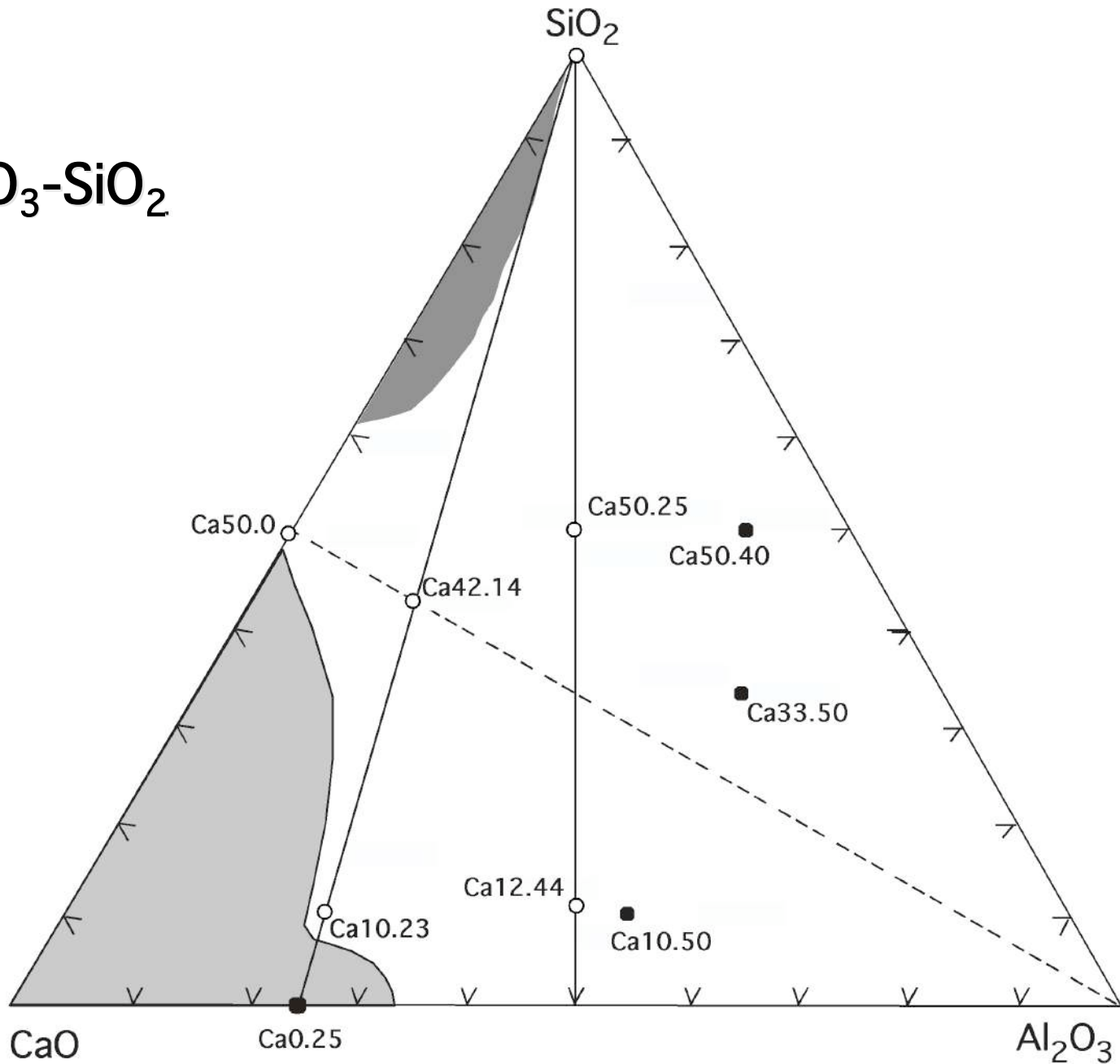
Fe : $(\text{Na}_2\text{O} \cdot 2\text{SiO}_2$ et $\text{CaO} \cdot \text{Al}_2\text{O}_3 \cdot \text{SiO}_2)$ + FeO ou Fe_2O_3

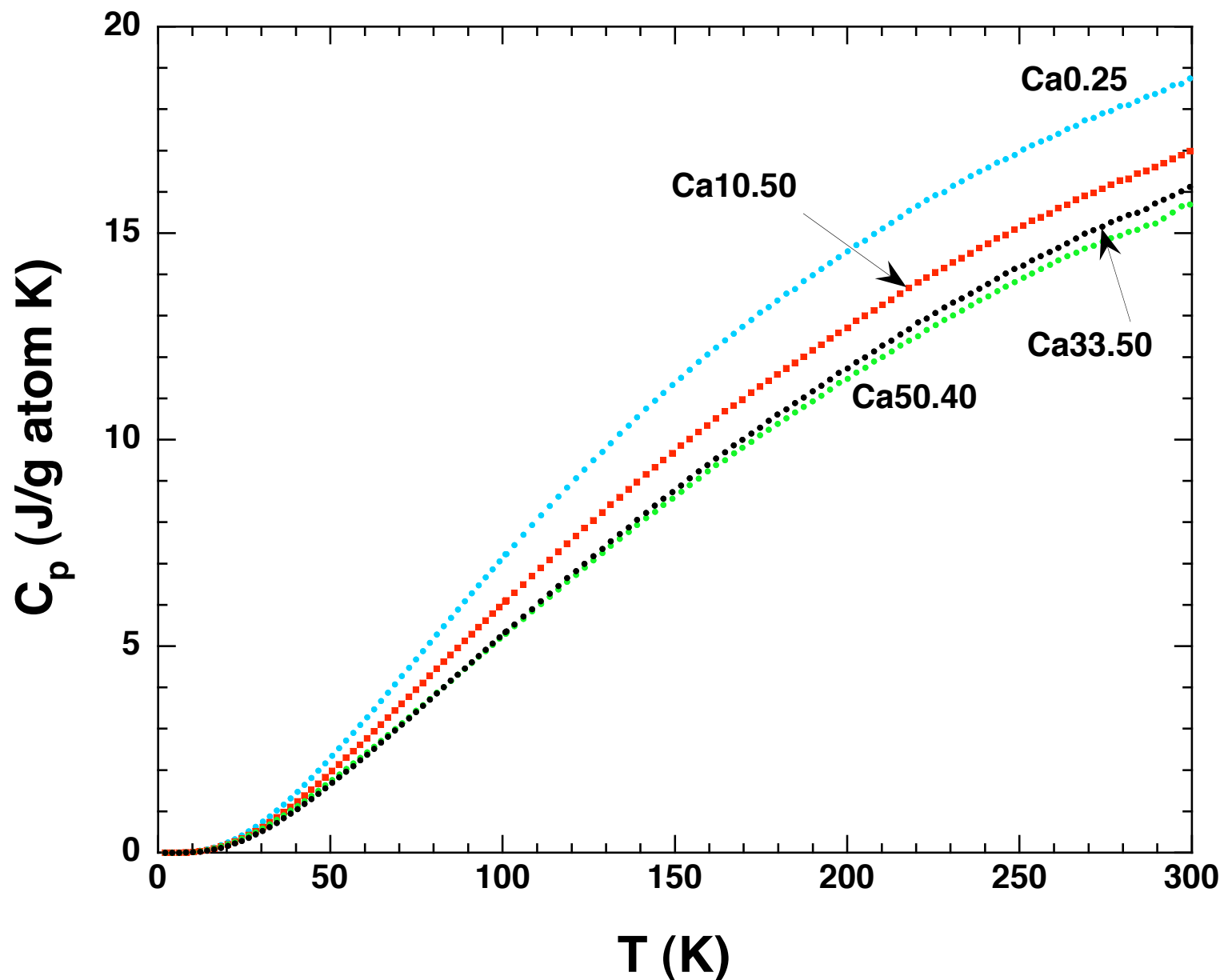
B : étude systématique des verres $\text{Na}_2\text{O-B}_2\text{O}_3-\text{SiO}_2$

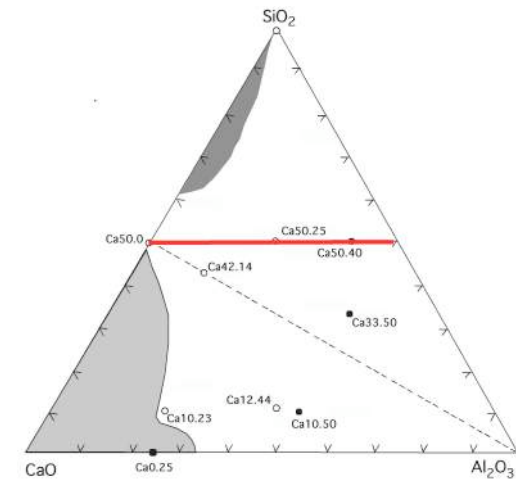
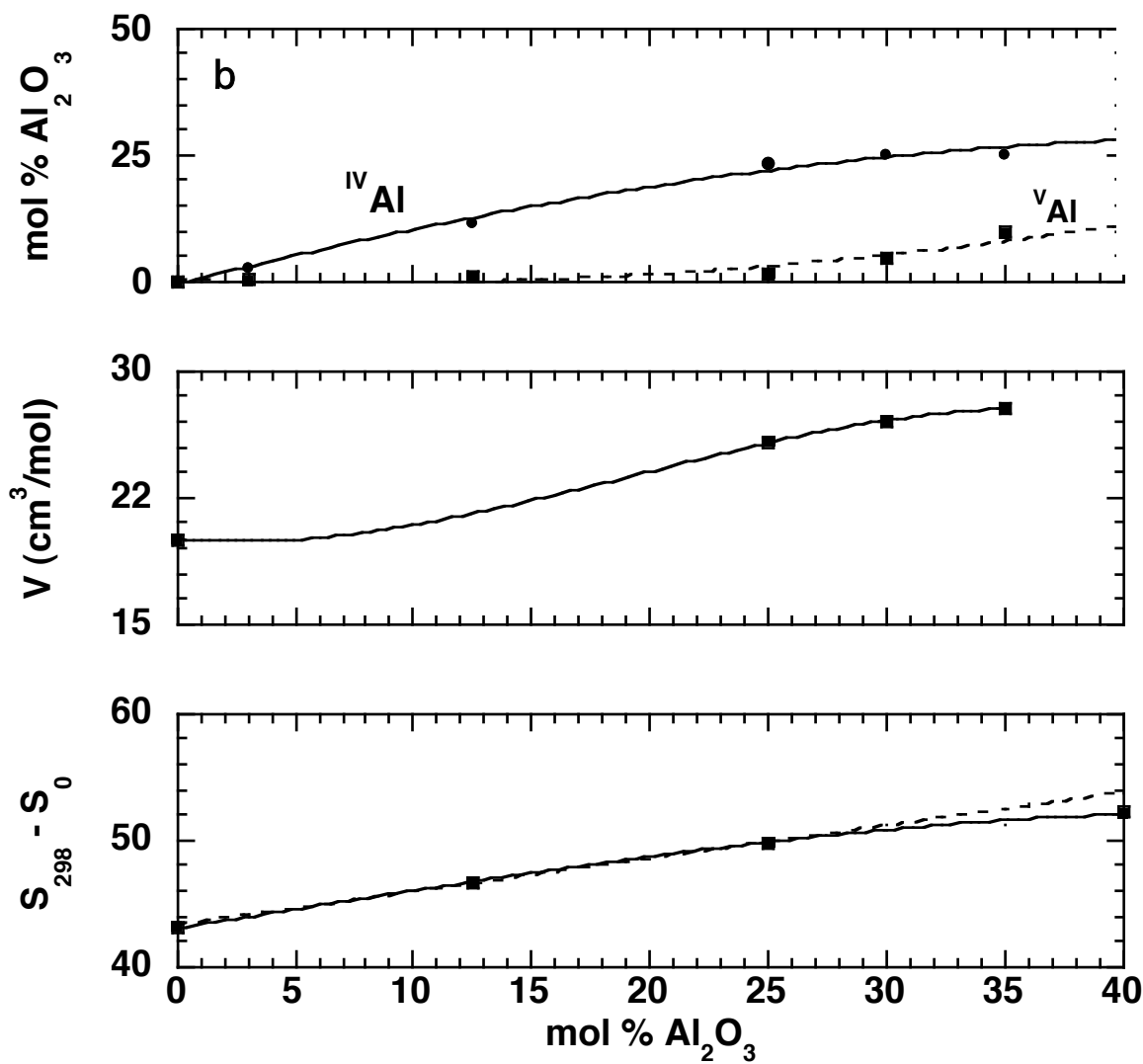
Spéciation de Al et B par spectroscopie RMN

Etat rédox de Fe par spectroscopie Mössbauer

$\text{CaO}-\text{Al}_2\text{O}_3-\text{SiO}_2$







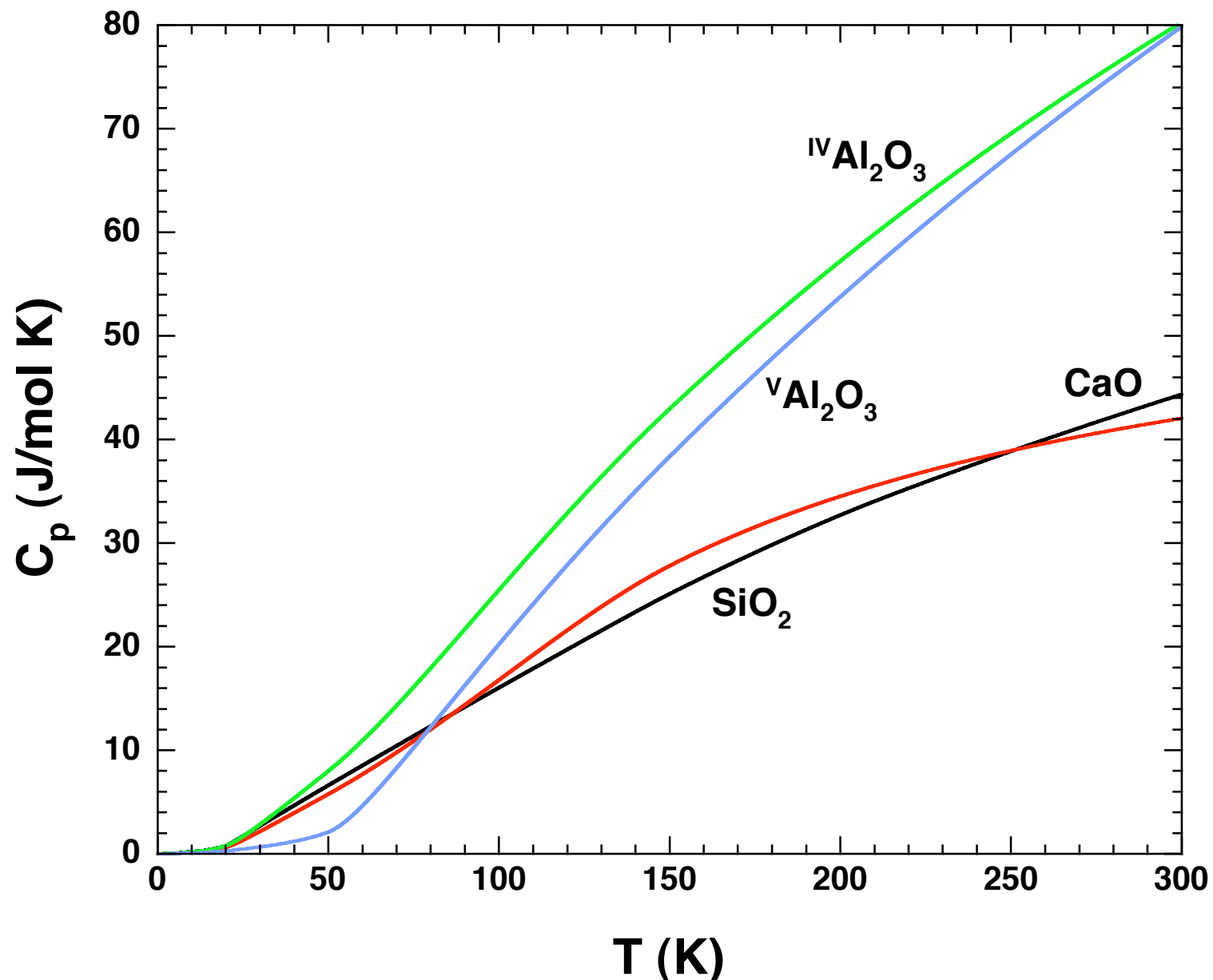
Dépendance vis-à-vis de la composition :

$$C_p = \sum x_i C_{pi} \text{ et } S_{298} - S_0 = \sum x_i (S_{298} - S_0)$$

x_i = fraction molaire de l'oxyde i



Capacités caloriques molaires par molécule



Entropies de vibration molaires partielles des oxydes ($S_{298} - S_0$) :

IVSiO_2 43.37

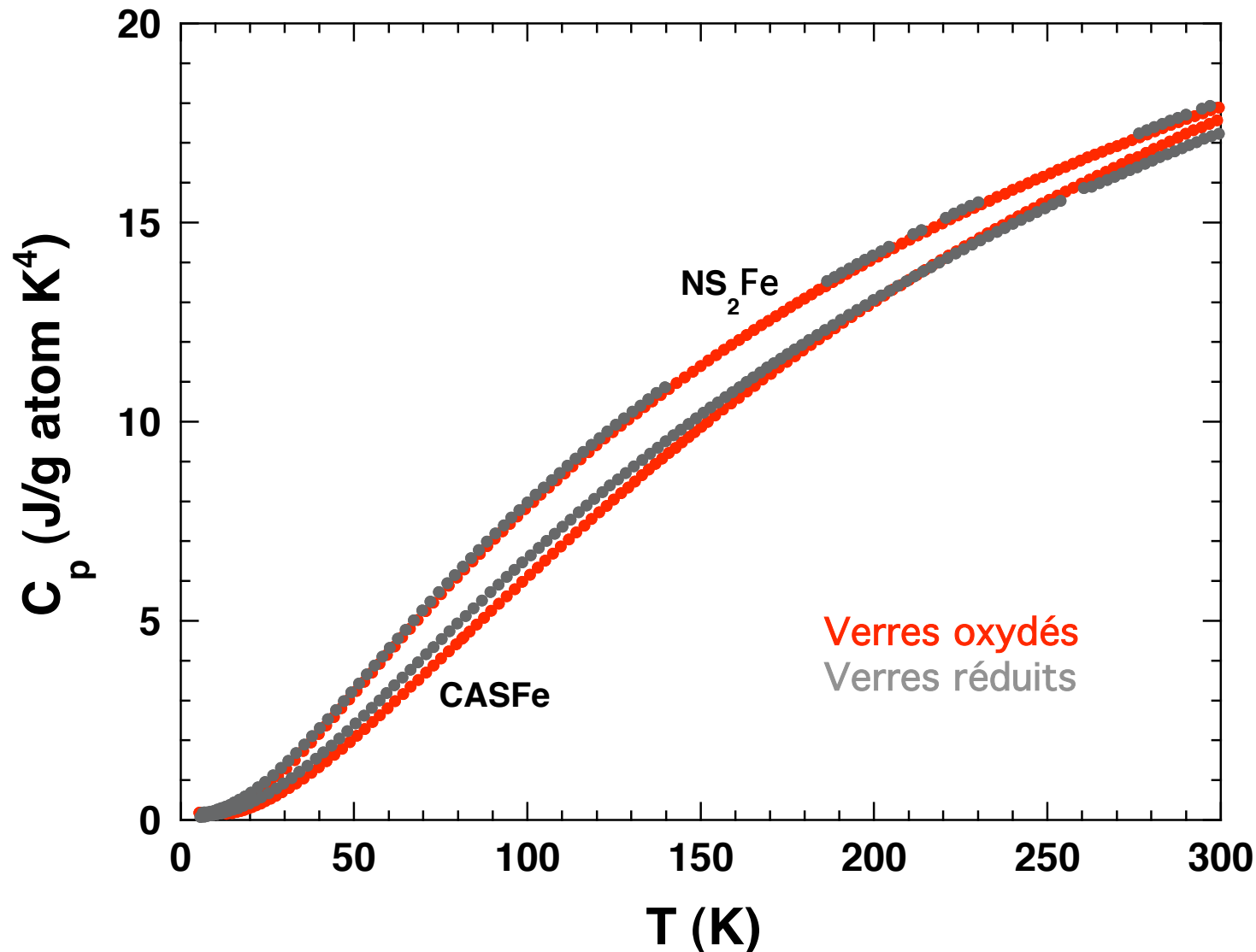
VI CaO 42.82

IVAl_2O_3 72.8

VAl_2O_3 48.5 -33 %

VIAl_2O_3 45.0 -38 %

Influence de l'état rédox du fer



Entropies de vibration molaires partielles des oxydes ($S_{298} - S_0$) :

IVSiO_2 43.37

VI CaO 42.82

IVAl_2O_3 72.8

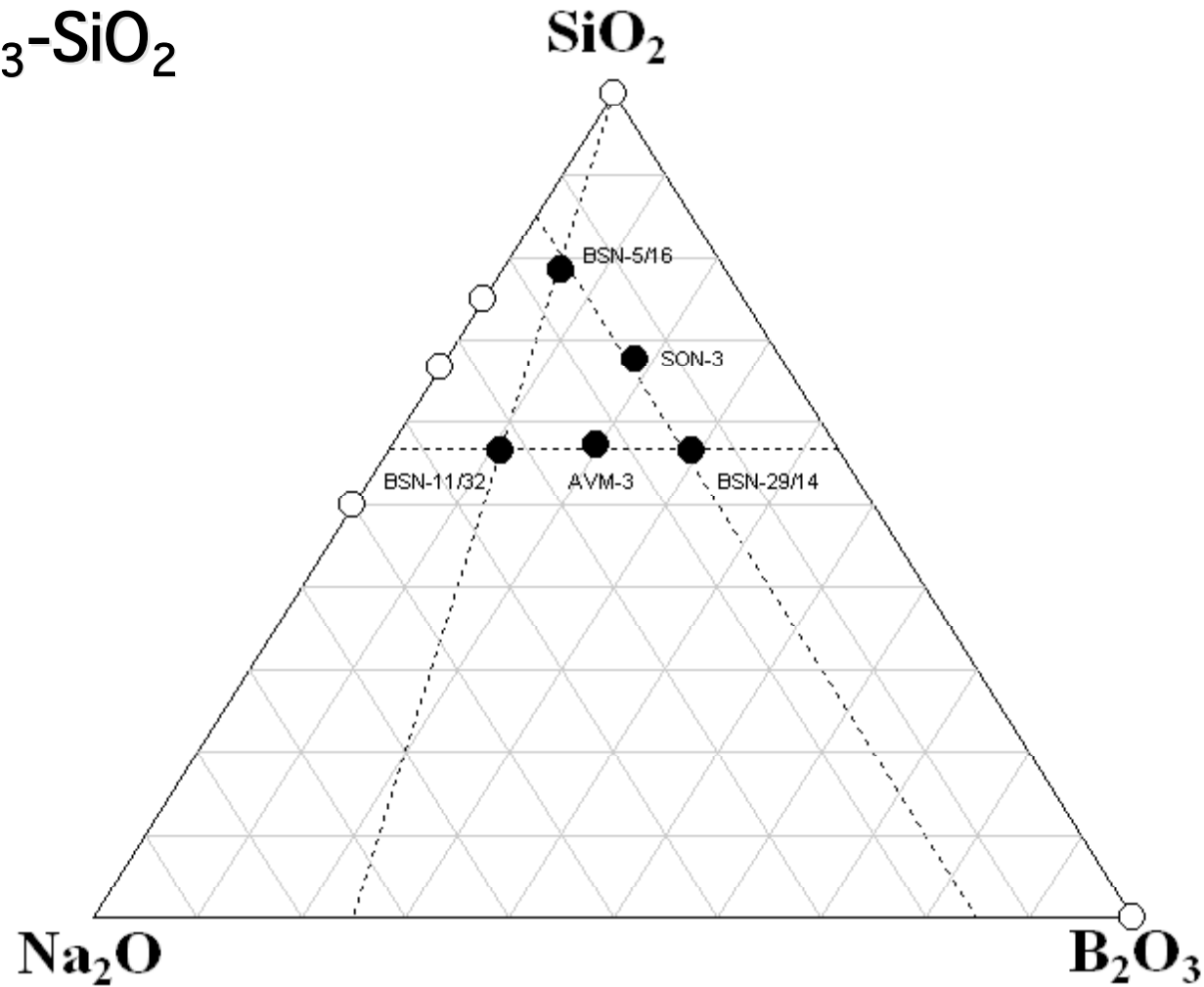
VAl_2O_3 48.5 -33 %

VIAl_2O_3 45.0 -38 %

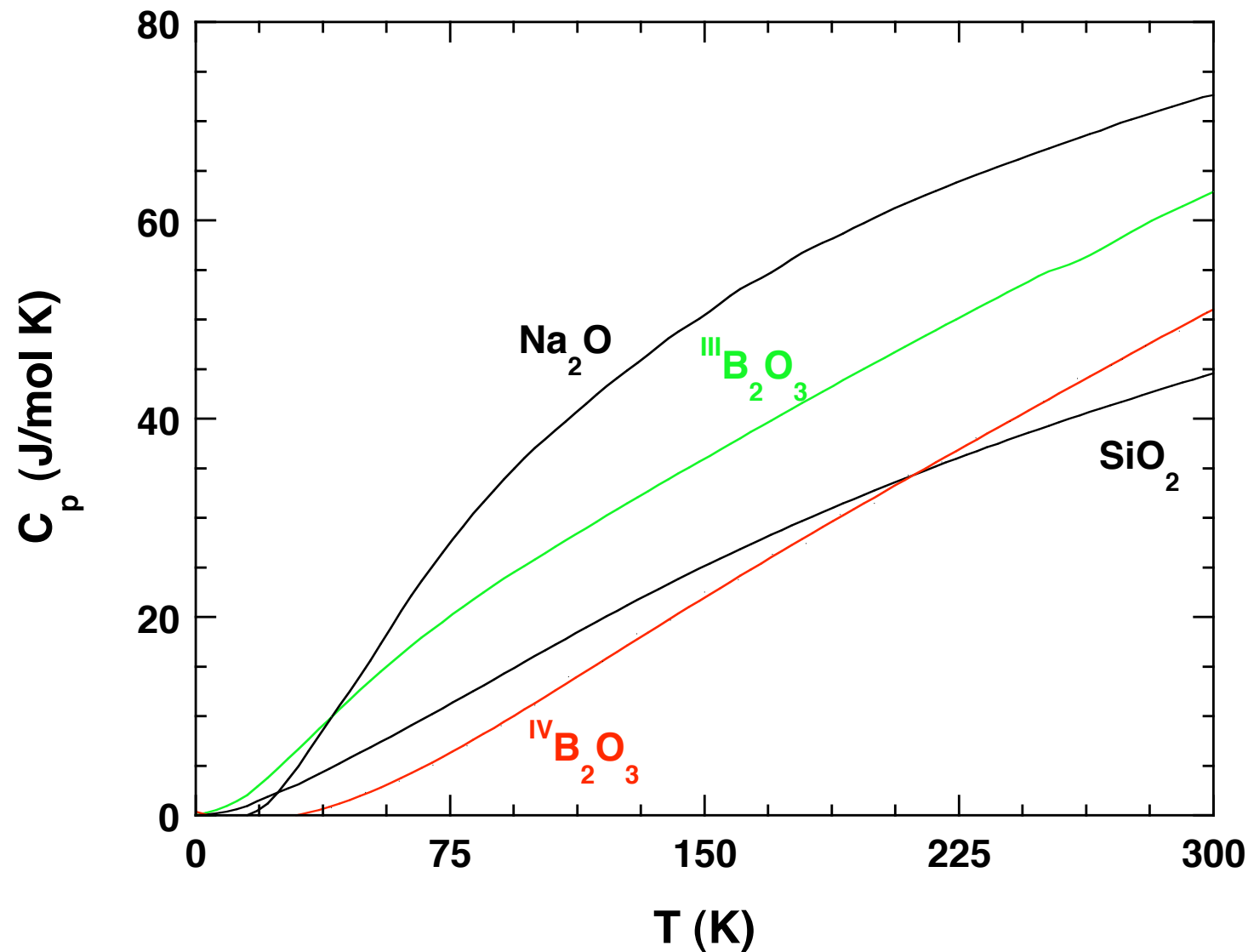
IVFe_2O_3 116.0

VI FeO 56.7

Na_2O - B_2O_3 - SiO_2



Capacités calorifiques molaires partielles



Entropies de vibration molaires partielles des oxydes ($S_{298} - S_0$) :

IVSiO_2 43.37

VI CaO 42.82

IVAl_2O_3 72.8

VAl_2O_3 48.5 -33 %

VIAl_2O_3 45.0 -38 %

IVFe_2O_3 116.0

VI FeO 56.7

IIIB_2O_3 70.5

IVB_2O_3 34.9 -50 %

Conclusions

**Capacité calorifique vibrationnelle/configurationnelle
(changements de coordinence induits par température)**

**Influence de coordinence de l'oxygène la plus forte pour
coordinances les plus faibles**

**Environnement de Si, Ca et Na indépendant
de spéciation de Al, Fe et B**

Et aussi information sur pic de boson

Propriétés de vibration/configuration ?

$\text{IVB} \Rightarrow \text{IIIIB}$, $\Delta S = 35 \text{ J/mol K}$

$\Delta S \ln(T_2/T_1) \sim 15 \text{ J/mol K}$ entre 900 et 500 K

Fraction importante de C_p^{conf}

Effet vibrationnel se manifestant comme configurationnel

Distinction propriétés de vibration/configuration floue

Références

- Gupta, P.K. and J. Mauro, *J. Chem. Phys.*, **126**, 224504 (2007).
- de Ligny D., P. Richet and E.F. Westrum, Jr, Entropy of calcium and magnesium aluminosilicate glasses. *Chem. Geol.*, **128**, 113-128 (1996) & **140**, 151 (1997).
- Richet, P., Residual and configurational entropy: Quantitative checks through applications of Adam-Gibbs theory to the viscosity of silicate melts. *J. Non-Cryst. Solids*, **355**, 628-635 (2009).
- Richet P., R.A. Robie, J. Rogez, B.S. Hemingway, P. Courtial and C. Téqui, Thermodynamics of open networks: Ordering and entropy in NaAlSiO_4 glass, liquid and polymorphs. *Phys. Chem. Minerals*, **17**, 385-394 (1990)
- Richet P., R.A. Robie and B.S. Hemingway, Entropy and structure of silicate glasses and melts. *Geochim. Cosmochim. Acta*, **57**, 2751-2766 (1993).
- Richet, P., Nidaira, A., Neuville, D.R. and Atake, T., Aluminum speciation, vibrational entropy and short-range order in calcium aluminosilicate glasses. *Geochim. Cosmochim. Acta*, **73**, 3894-3904 (2009).
- Sipowska, J.T., Atake, T., Mysen, B.O. and Richet, P., Entropy and structure of oxidized and reduced iron-bearing silicate glasses. *Geochim. Cosmochim. Acta*, **73**, 3905-3913 (2009).

A photograph of a volcanic eruption at night. A massive, turbulent lava fountain erupts from a central vent, casting a bright glow over the surrounding dark landscape. The lava flows down the flanks of the volcano, creating a large, glowing mass. The sky is dark, making the intense orange and yellow of the lava stand out.

Merci!

Piton de la Fournaise, 2004